

Файн М. К., Старинова О. Л.

МЕТОДИКА ОПТИМИЗАЦИИ ПЕРЕЛЁТА КОСМИЧЕСКОГО АППАРАТА С ДВИГАТЕЛЕМ МАЛОЙ ТЯГИ К ТОЧКЕ ЛИБРАЦИИ L1 СИСТЕМЫ ЗЕМЛЯ-СОЛНЦЕ

В настоящее время ведущие мировые космические державы проводят активные разработки в области проектирования миссий на гало-орбиты в окрестности точек либрации систем Земля-Луна и Земля-Солнце. Специфика решения таких задач состоит в выборе оптимальных траекторий перелёта.

Таким образом, актуальной является задача оптимизации широкого класса межпланетных миссий космических аппаратов (КА) с двигателем малой тяги.

Точка либрации L1 системы Земля-Солнце (рисунок 1) находится в 1,5 млн. км от Земли по направлению к нашему светилу.

Точка L2 противоположна первой, располагаясь в 1,5 млн. км позади Земли. У неё есть своё важное преимущество: для находящегося в ней аппарата Солнце, Земля и Луна вместе взятые закрывают совсем небольшую часть неба, и обзор отсюда открывается весьма широкий. На практике в L2 можно разместить целую группу телескопов. Это автоматически упростит их обслуживание, ведь ремонтный челнок можно посылать один для всех сразу.

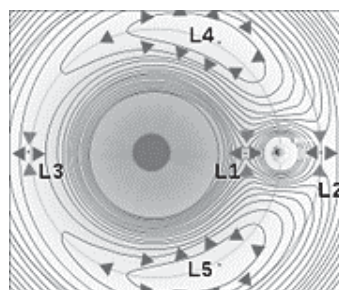


Рисунок 1 – Точки либрации системы Земля-Солнце

Существует несколько причин интенсивного использования окрестностей коллинеарных точек либрации:

- возможность уйти от влияния радиационных поясов и излучения Земли, оставаясь в пределах приемлемой дальности по условиям работы радиолиний;
- мало меняющийся тепловой режим космического аппарата, в том числе непопадание аппарата в тень Земли;
- возможность постоянного мониторинга солнечного ветра при полёте в окрестности L1 в той его части, которая достигает Земли;
- удобство построения группировок космических аппаратов в силу относительно

малого градиента силы тяжести.

Более половины грядущих научных проектов планируется проводить в окрестностях коллинеарных точек либрации.

На данный момент целый ряд космических аппаратов успешно функционирует в точках либрации, например:

- телескоп имени Джеймса Вебба;
- зонд «Explorer»;
- обсерватория для наблюдения за Солнцем и гелиосферой (SOHO);
- КА для изучения солнечного ветра «WIND»;
- зонд имени Уилкинсона для изучения реликтового излучения;
- Гайя.

В данной работе рассматривается оптимальный по расходу рабочего тела перелёт между круговыми компланарными орбитами, осуществляемый КА с двигательной установкой (ДУ) малой тяги. Начальной орбитой является орбита Земли относительно Солнца, конечной – орбита точки либрации L1 системы Земля-Солнце.

В рассматриваемой задаче оптимизируемый функционал примет вид:

$$I = m(t_k^{[5]}) + (r^{[5]}(t_k^{[5]}) - r_{L1})^2 + (\varphi^{[5]}(t_k^{[5]}) - \omega_3 \cdot t_k^{[5]})^2 + (v_r(t_k^{[5]}))^2 + (v_\varphi(t_k^{[5]}) - v_{\varphi_{L1}})^2 \rightarrow \min. \quad (1)$$

Движение КА с двигателем малой тяги описывается следующей системой уравнений:

$$\begin{cases} \frac{dr}{dt} = v_r, \\ \frac{d\varphi}{dt} = \frac{v_\varphi}{r}, \\ \frac{dv_r}{dt} = \frac{v_\varphi^2}{r} - \frac{1}{r^2} \pm \cos \lambda \cdot a, \\ \frac{dv_\varphi}{dt} = -\frac{v_r v_\varphi}{r} \pm \sin \lambda \cdot a, \\ \frac{dm}{dt} = \beta, \end{cases} \quad (2)$$

где $\bar{x}(t)$ – вектор фазовых координат КА, который подчиняется граничным условиям, $\bar{x}(t) = (r, \varphi, V_r, V_\varphi, m)$; $\bar{u}(t)$ – вектор функций управлений: $\bar{u}(t) = (\lambda_1, \lambda_2, \lambda_3)$.

Точное оптимальное решение подобной задачи было получено с использованием формализма принципа максимума Понтрягина и численного решения краевой задачи. Анализ этого решения показывает, что на траектории перелёта имеются три участка работы

двигателя, разделённые двумя пассивными участками (рис. 1).

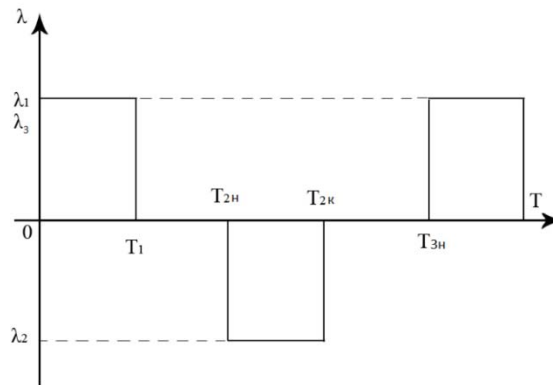


Рисунок 2 – Схема управления КА

$$p^{[i]} = \{T_{1k}; T_{2н}; T_{2к}; T_{3н}\};$$

$q = \{T_0; T; a_0; c_0\}$, a_0 – ускорение КА, c_0 – скорость истечения газов.

Тогда для решения поставленной задачи необходимо найти частные производные функционала I по оптимизируемым параметрам:

$$\frac{\partial I}{\partial \lambda_1}; \frac{\partial I}{\partial \lambda_2}; \frac{\partial I}{\partial \lambda_3}; \frac{\partial I}{\partial T_{1k}}; \frac{\partial I}{\partial T_{2н}}; \frac{\partial I}{\partial T_{2к}}; \frac{\partial I}{\partial T_{3н}}; \frac{\partial I}{\partial T_0}; \frac{\partial I}{\partial T}; \frac{\partial I}{\partial a_0}; \frac{\partial I}{\partial c_0}. \quad (3)$$

Для нахождения производных (3) используется методика оптимизации параметров и управлений межпланетными траекториями космических аппаратов, которая базируется на идеях оптимизации составных динамических систем и на методе последовательной линеаризации Федоренко Р.П. Суть метода заключается в сведении вариационной задачи об оптимальном управлении к итерационно решаемой задаче линейного программирования путём последовательной линеаризации всех функционалов (критерия и ограничений) по кусочно-постоянным аппроксимациям управления в окрестности итерационно улучшаемых траектории и управления.

Сначала найдём $\frac{\partial I}{\partial u}$.

Для этого найдём $\omega^{[i]}(s)$:

$$\omega^{[i]}(s) = \psi_i^T(s) \cdot f_u^i(s), \quad i = 1, \dots, K;$$

где функции ψ_i являются решениями уравнений:

$$\frac{d\psi_i}{dt^i} = -(f_x^i)^T \psi_i, \quad i = 1, \dots, K.$$

В рассматриваемом случае $\omega^{[i]}(s)$ примет следующий вид:

$$\omega_i = -\psi_{v_r} \frac{a_0 \cdot \delta}{1-m} \sin \lambda + \psi_{v_\varphi} \frac{a_0 \cdot \delta}{1-m} \cos \lambda. \quad (4)$$

Таким образом, становится возможным нахождение $\frac{\partial I}{\partial \lambda_1}; \frac{\partial I}{\partial \lambda_2}; \frac{\partial I}{\partial \lambda_3}$:

$$\begin{aligned}\frac{\partial I}{\partial \lambda_1} &= \omega_1 = \int_0^{t_0} \omega(s) ds, \\ \frac{\partial I}{\partial \lambda_2} &= \omega_2 = \int_{t_{2H}}^{t_{2K}} \omega(s) ds, \\ \frac{\partial I}{\partial \lambda_3} &= \omega_3 = \int_0^{t_0} \omega(s) ds.\end{aligned}\quad (5)$$

Теперь определим $\frac{\partial I}{\partial \bar{q}}$:

$$\frac{\partial \bar{f}}{\partial \bar{q}} = \begin{pmatrix} 0 & 0 & 0 & 0 \\ 0 & 0 & 0 & 0 \\ 0 & 0 & \frac{\text{Cos} \lambda \cdot \delta}{1-m} & 0 \\ 0 & 0 & \frac{\text{Sin} \lambda \cdot \delta}{1-m} & 0 \\ 0 & 0 & \frac{\delta}{c_0} & -\frac{a_0 \cdot \delta}{c_0^2} \\ \frac{\partial \bar{f}}{\partial t_{10}} & \frac{\partial \bar{f}}{\partial t_k} & \frac{\partial \bar{f}}{\partial a_0} & \frac{\partial \bar{f}}{\partial c_0} \end{pmatrix}, \quad (6)$$

$$\begin{aligned}\frac{\partial I}{\partial \bar{q}} &= (\psi^{[1]}(t_0^{[1]}))^T \cdot \frac{\partial \bar{\varphi}^{[0]}}{\partial \bar{q}} + (\psi^{[2]}(t_0^{[2]}))^T \cdot \left(\frac{\partial \bar{\varphi}^{[1]}}{\partial \bar{q}} + \bar{c}^{[1]} \frac{\partial \mu^{[1]}}{\partial \bar{q}} - f^{[2]}(t_0^{[2]}) \cdot \left(\frac{\partial \tau^{[1]}}{\partial \bar{q}} + b^{[1]} \frac{\partial \mu^{[1]}}{\partial \bar{q}} \right) \right) \\ &+ (\psi^{[3]}(t_0^{[3]}))^T \cdot \left(\frac{\partial \bar{\varphi}^{[2]}}{\partial \bar{q}} + \bar{c}^{[2]} \frac{\partial \mu^{[2]}}{\partial \bar{q}} - f^{[3]}(t_0^{[3]}) \cdot \left(\frac{\partial \tau^{[2]}}{\partial \bar{q}} + b^{[1]} \frac{\partial \mu^{[2]}}{\partial \bar{q}} \right) \right) + (\psi^{[4]}(t_0^{[4]}))^T \cdot \left(\frac{\partial \bar{\varphi}^{[3]}}{\partial \bar{q}} + \right. \\ &\left. \bar{c}^{[3]} \frac{\partial \mu^{[3]}}{\partial \bar{q}} - f^{[4]}(t_0^{[4]}) \cdot \left(\frac{\partial \tau^{[3]}}{\partial \bar{q}} + b^{[1]} \frac{\partial \mu^{[3]}}{\partial \bar{q}} \right) \right) + \sum_{i=1}^5 \left(\int_{t'_0}^{t'_k} (\psi^{[i]})^T \cdot \frac{\partial \bar{f}^{[i]}}{\partial \bar{q}} ds \right) + \frac{\partial F}{\partial \bar{q}} + d \frac{\partial \mu^{[5]}}{\partial \bar{q}},\end{aligned}\quad (7)$$

$$\frac{\partial I}{\partial \bar{q}} = \left(\frac{\partial I}{\partial t_{10}}; \frac{\partial I}{\partial t_k}; \frac{\partial I}{\partial a_0}; \frac{\partial I}{\partial c_0} \right) = \left(0; -d; \int_{t_0}^{t_k} (\psi_{v_r} \frac{\text{Cos} \lambda \cdot \delta}{1-m} + \psi_{v_\varphi} \frac{\text{Sin} \lambda \cdot \delta}{1-m} + \psi_m \frac{\delta}{c_0}) ds; \int_{t_0}^{t_k} (-\psi_m \frac{a_0 \delta}{c_0^2}) ds \right). \quad (8)$$

Теперь найдём $\frac{\partial I}{\partial \bar{p}}$:

$$\frac{\partial I}{\partial \bar{p}} = \left(\frac{\partial I}{\partial p^{[1]}}; \frac{\partial I}{\partial p^{[2]}}; \frac{\partial I}{\partial p^{[3]}}; \frac{\partial I}{\partial p^{[4]}} \right) \cdot \begin{pmatrix} \delta p^{[1]} \\ \delta p^{[2]} \\ \delta p^{[3]} \\ \delta p^{[4]} \end{pmatrix}. \quad (9)$$

Так как все начальные условия являются константами, то:

$$\Pi^0 \delta p^{[0]} = 0;$$

$$\begin{aligned} \Pi^{[1]} = & (\psi^{[2]}(t_0^{[2]}))^T \cdot \left(\frac{\partial \bar{\varphi}^{[1]}}{\partial p^{[1]}} + \bar{c}^{[1]} \frac{\partial \mu^{[1]}}{\partial p^{[1]}} - f^{[2]}(t_0^{[2]}) \cdot \left(\frac{\partial \tau^{[1]}}{\partial p^{[1]}} + b^{[1]} \frac{\partial \mu^{[1]}}{\partial p^{[1]}} \right) \right) \\ & + \int_{t_0^{[1]}}^{t_k^{[1]}} (\psi^{[1]}(s))^T \cdot \frac{\partial f^{[1]}}{\partial p^{[1]}}(s) ds = (\psi^{[2]}(t_k^{[2]}))^T (f^{[1]}(t_k^{[1]}) - f^{[2]}(t_0^{[2]})); \end{aligned} \quad (10)$$

$$\frac{\partial I}{\partial t_{1k}} = \Pi^{[1]} = \psi_{v_r}^{[2]}(t_0^{[2]}) \cdot \text{Cos} \lambda_1 \frac{a_0}{1 - m(t_0^{[2]})} + \psi_{v_\varphi}^{[2]}(t_0^{[2]}) \cdot \text{Sin} \lambda_1 \frac{a_0}{1 - m(t_0^{[2]})} + \psi_m^{[2]}(t_0^{[2]}) \frac{a_0}{c_0}; \quad (11)$$

$$\Pi^{[2]} = (\psi^{[3]}(t_k^{[3]}))^T (f^{[2]}(t_k^{[2]}) - f^{[3]}(t_0^{[3]})); \quad (12)$$

$$\frac{\partial I}{\partial t_{2H}} = \Pi^{[2]} = -\psi_{v_r}^{[3]}(t_0^{[3]}) \cdot \text{Cos} \lambda_2 \frac{a_0}{1 - m(t_0^{[3]})} - \psi_{v_\varphi}^{[3]}(t_0^{[3]}) \cdot \text{Sin} \lambda_2 \frac{a_0}{1 - m(t_0^{[3]})} - \psi_m^{[3]}(t_0^{[3]}) \frac{a_0}{c_0}; \quad (13)$$

$$\frac{\partial I}{\partial t_{2K}} = \Pi^{[3]} = \psi_{v_r}^{[4]}(t_0^{[4]}) \cdot \text{Cos} \lambda_2 \frac{a_0}{1 - m(t_0^{[4]})} + \psi_{v_\varphi}^{[4]}(t_0^{[4]}) \cdot \text{Sin} \lambda_2 \frac{a_0}{1 - m(t_0^{[4]})} + \psi_m^{[4]}(t_0^{[4]}) \frac{a_0}{c_0}; \quad (14)$$

$$\frac{\partial I}{\partial t_{3H}} = \Pi^{[4]} = -\psi_{v_r}^{[5]}(t_0^{[5]}) \cdot \text{Cos} \lambda_3 \frac{a_0}{1 - m(t_0^{[5]})} - \psi_{v_\varphi}^{[5]}(t_0^{[5]}) \cdot \text{Sin} \lambda_3 \frac{a_0}{1 - m(t_0^{[5]})} - \psi_m^{[5]}(t_0^{[5]}) \frac{a_0}{c_0}. \quad (15)$$

Таким образом, найдены выражения для всех производных (3).

В процессе сравнения результатов, полученных при аналитической оптимизации и при численном моделировании, были получены следующие данные (таблица 1).

Таблица 1 – Сравнение численных и аналитических результатов интегрирования

Сравниваемая величина	Полученная аналитически	Полученная численно	Погрешность
λ_1	-3,553899e-4	-1,7139e-4	51,77 %
λ_2	1,74749e-3	2,6185e-3	49,84 %
λ_3	3,151693e-4	2,5644e-3	713,7 %
T_{1k}	0,1146029	0,108803549	5,06 %
T_{2H}	-0,118465515	-0,126818838	7,05 %
T_{2K}	0,124196	0,121420695	2,23 %
T_{3H}	-0,114652	-0,11990496	4,58 %
T_0	0	0	0 %
T	0,1243178	0,123532801	6,31 %
a_0	2,3569185355	2,412325163	2,35 %
c_0	-0,2814637828	-0,283181881	0,61 %

Отметим, что имеется высокая погрешность при численном определении производных для $\lambda_1, \lambda_2, \lambda_3$.